

مقاآم سازی الگوریتم شکل دهی پرتو

سجاد دهقانی^(۱) – ناصر پرهیزگار^(۲)

(۱) کارشناس ارشد - گروه مهندسی برق، دانشگاه آزاد اسلامی، واحد علوم و تحقیقات فارس

(۲) استادیار - گروه مهندسی برق، دانشگاه آزاد اسلامی، واحد علوم و تحقیقات فارس

تاریخ دریافت: تابستان ۱۳۹۲ تاریخ پذیرش: بهار ۱۳۹۳

خلاصه: عملکرد الگوریتم‌های شکل دهی پرتو در شرایط عدم قطعیت در بردار هدایت و یا در ماتریس کوواریانس داده، به شدت خراب می‌شوند. در این مقاله یک روش جدید برای مقاآم سازی الگوریتم شکل دهی پرتو وفقی حداقل واریانس ارائه می‌شود که هم نسبت به عدم قطعیت در بردار هدایت و هم نسبت به عدم قطعیت در ماتریس کوواریانس داده مقاوم می‌باشد. این روش شامل حداقل سازی یک مسئله بهینه سازی با تابع هزینه مرتبه دوم و قید غیر محدب است. در این مقاله نشان داده خواهد شد که مسئله بهینه سازی غیر محدب به یک مسئله محدب تبدیل شده و بردار وزن شکل دهنده پرتو مقاآم سازی شده به دست می‌آید.

.Keywords: مقاآم سازی، عدم قطعیت، شکل دهنده پرتو حداقل واریانس با پاسخ بدون اعوجاج، Convex Optimization

Robust Beamforming Algorithms

Sajad Dehqani^(۱) – Naser Parhizgar^(۲)

(1) MSc - Department of Electrical Engineering, Science and Research Branch, Islamic Azad University, Fars, Iran
sajaddehghani@gmail.com

(2) Assistant Professor - Department of Electrical Engineering, Science and Research Branch, Islamic Azad University, Fars, Iran
nasserpar@yahoo.com

Adaptive beamforming methods are known to degrade in the presence of steering vector and covariance matrix uncertainty. In this paper, a new approach is presented to robust adaptive minimum variance distortionless response beamforming make robust against both uncertainties in steering vector and covariance matrix. This method minimize a optimization problem that contains a quadratic objective function and a quadratic constraint. The optimization problem is nonconvex but is converted to a convex optimization problem in this paper. It is solved by the interior-point method and optimum weight vector to robust beamforming is achieved.

Index Terms: Robustness, uncertainty, minimum variance distortionless response beamforming, convex optimization.

بردار هدایت، مشخص نیست. این در حالی است که این روش‌ها در شرایط نسبت سیگنال به نویز (SNR) پایین و هنگامی که ابعاد زیر فضای سیگنال تداخل به اضافه نویز بالا است، بسیار حساس هستند. متأسفانه همین امر موجب می‌شود که نتوان از الگوریتم شکل‌دهی پرتو مبتنی بر زیر فضا در شرایطی که ابعاد زیر فضای سیگنال تداخل به اضافه نویز نامشخص و نسبتاً بالا است در مخابرات بی‌سیم استفاده کرد [۲۱-۱۸].

در این مقاله یک روش مقاوم سازی شکل‌دهی پرتو جدید در حضور هرگونه عدم قطعیت بردار هدایت و ماتریس کوواریانس داده ارائه می‌شود. این روش مبتنی بر حداقل‌سازیتابع هزینه مرتبه دوم با توجه به بینهایت قید مرتبه دوم غیر محاسب است. با این حال نشان داده می‌شود که این الگوریتم مقاوم سازی را می‌توان به صورت یک مسائله محاسب مخروطی مرتبه دوم (SOC) بازنویسی کرد. این مسئله بهینه سازی جدید توسط روش کارآمد Interior-point از زیرمجموعه روش‌های حل مسائل بهینه سازی محاسب است به صورت مؤثری حل می‌شود [۲۴-۲۲]. نشان داده خواهد شد که در بخشی از الگوریتم، که می‌توان آن را شبیه روش بارگذاری قطری دانست، مقدار بهینه ضریب بارگذاری قطری بر اساس حد پایین شناخته شده نرم ماتریس داده دچار عدم انطباق، محاسبه می‌شود.

در بخش II به اختصار روش شکل‌دهی پرتو وفقی حداقل واریانس با پاسخ بدون اعوجاج (MVDR) و روش‌های مقاوم سازی مرسوم آن توضیح داده می‌شود. در بخش III روش جدید مقاوم سازی الگوریتم شکل‌دهی پرتو وفقی MVDR نسبت به عدم قطعیت بردار هدایت و ماتریس کوواریانس ارائه می‌شود. در بخش IV نتایج شبیه سازی توسط نرم افزار CVX در MATLAB ارائه شده و با روش‌های بیان شده در بخش II مقایسه می‌شوند. بخش V شامل نکات مهم مقاله و نتیجه گیری خواهد بود.

۲- شکل دهنده پرتو وفقی MVDR و مقاوم سازی

خروجی یک شکل دهنده پرتو باند باریک به صورت زیر است
 $y(k) = w^H x(k)$ (۱)

که k بر حسب زمان، $x(k) = [x_1(k), x_2(k), \dots, x_M(k)]^T$ بردار مختلط $M \times 1$ مشاهدات آرایه، $w = [w_1, w_2, \dots, w_M]^T$ بردار مختلط وزن $M \times 1$ شکل دهنده پرتو، و M تعداد المان‌های آرایه هستند. (\bullet) و (\bullet^H) نیز به ترتیب ترانهاده و مزدوج مختلط هستند. برای بردار مشاهدات خواهیم داشت

$$\begin{aligned} x(k) &= S(k) + i(k) + n(k) \\ &= s(k)a + i(k) + n(k) \end{aligned} \quad (2)$$

که $(t), s(t), i(t)$ به ترتیب سیگنال مطلوب، تداخل و نویز هستند و $a = [a_1, a_2, \dots, a_M]^T$ بردار هدایت سیگنال است. عناصر بردار هدایت آرایه یکنواخت خطی در حالت ایده‌آل نیز به صورت زیر می‌باشد.

۱- مقدمه

در دهه‌های اخیر شکل دهنده پرتو وفقی به طور گسترده‌ای در مخابرات بی‌سیم، پردازش گفتار آرایه میکروفن، رadar، سونار، تصویر برداری پژوهشی، اخترشناسی رادیویی، و دیگر حوزه‌ها کاربرد داشته است. در روش مرسوم در طراحی شکل‌دهنده پرتو وفقی فرض بر این است که بسته داده دریافتی توسط آرایه صرفاً شامل سیگنال مطلوب می‌باشد [۱]. در این مورد چندین روش با همگرایی سریع ارائه شده است که در مسائلی با تعداد کم نمونه برداری از سیگنال (مثل radar) قابل استفاده هستند [۱-۵]. با این حال حوزه‌هایی مانند مخابرات سیار، پردازش گفتار آرایه میکروفن، و تصویر برداری پژوهشی وجود دارند که بسته داده دریافتی توسط آرایه، نه تنها شامل سیگنال مطلوب بوده بلکه توسط تداخل‌گرها نیز آغشته شده است. در [۶] نشان داده شده است که حتی اگر بردار هدایت آرایه در حالت ایده‌آل و همگرایی الگوریتم‌های شکل‌دهی پرتو در حالتی که تداخل وجود دارد کمتر از حالتی است که صرفاً سیگنال مطلوب توسط آرایه دریافت می‌شود. در این شرایط میان بردار هدایت آرایه در حالت ایده‌آل و بدون تداخل و حالت عملی یک عدم انطباق صورت می‌گیرد. این وضعیت برای ماتریس کوواریانس داده نیز رخ خواهد داد. این شرایط را عدم قطعیت گویند. چنانچه بردار وزن آرایه نتواند با سرعت مناسب خود را با عدم قطعیت تطبیق دهد عملکرد شکل‌دهنده‌های پرتو وفقی مرسوم به شدت کاهش می‌یابد [۷-۱۱]. این عدم قطعیت می‌تواند ناشی از تداخل گرها، تزویج متقابل بین آنتن‌ها، لرزش آنتن، کالیبراسیون نامناسب آرایه، مدل کردن نا مناسب بردار هدایت آرایه و یا تغییرپذیری کانال انتشار باشد [۱۲]. در نتیجه مقاوم سازی الگوریتم شکل‌دهی پرتو در این زمینه امری ضروری است.

چندین روش برای مقاوم سازی شکل‌دهنده پرتو حداقل واریانس با قید خطی پرکاربردترین آنها شکل‌دهنده پرتو حداقل واریانس با قید خطی (LCVM) است که مقاوم سازی را نسبت به عدم قطعیت در زاویه ورود سیگنال مطلوب به آرایه انجام می‌دهد. با این حال کاربرد این روش‌ها تنها محدود به عدم انطباق در زاویه ورود سیگنال به آرایه است. اگر حالات‌های دیگر عدم انطباق در بردار هدایت رخ دهد (مانند عدم انطباق به علت اختلال در آرایه، مدل کردن نامناسب بردار هدایت، و ...)، نمی‌توان انتظار داشت که این روش‌ها مقاوم سازی مطلوبی ارائه دهنند [۱۳].

چندین روش شناخته شده دیگر وجود دارد که تا حدی می‌توانند بر مشکل عدم انطباق در بردار هدایت غلبه کنند. معروف‌ترین این روش‌ها شکل‌دهنده پرتو با قید مرتبه دوم است که عملکرد آن به صورت بارگذاری قطری ماتریس کوواریانس داده است [۱۴، ۱۵].

روش دیگر شکل دهنده پرتو مبتنی بر فضای ویژه است [۱۶، ۱۷]. با این حال مهمترین عیب این روش‌ها این است که چگونگی انتخاب ضریب بارگذاری قطری در آنها، با وجود معلوم بودن نوع عدم قطعیت

مساوی یا نامساوی با توجه به عدم قطعیت در بردار هدایت مقاآم سازی صورت می‌گیرد.

الگوریتم NECCB یک قید تساوی اضافی روی نرم اقلیدسی w اعمال می‌کند. مساله NECCB را می‌توان به صورت زیر نوشت:

$$\min_w w^H R w \quad (9)$$

subject to $w^H a = 1$

$$\|w\|^2 = \kappa$$

در روش NICCB یک قید نامساوی اضافی روی نرم اقلیدسی w جهت بهبود مقاآم سازی اعمال می‌شود.

$$\|w\|^2 < \kappa \quad (10)$$

که κ پارامتر قید نرم است. در نتیجه مساله NICCB به صورت رابطه ذیل خواهد بود.

$$\min_w w^H R w \quad (11)$$

subject to $w^H a = 1$

$$\|w\|^2 < \kappa$$

برای حل NECCB باید از نتایج به دست آمده در مورد NICCB استفاده کنیم. نتایجی همچون کاهش و یا افزایش نامساوی که تنها برای مقدار حقیقی مشبت در حل NICCB صادق هستند. مساله NECCB را می‌توان مانند مساله NICCB به وسیله ضرایب لاغرانژ حل نمود. همچنین ساختار بردار وزن بهینه در NECCB مانند الگوریتم NICCB است. تفاوت بین NICCB و NECCB تنها در ضرایب لاغرانژ $\hat{\lambda}$ است به طوری که برای NICCB ضریب لاغرانژ $\hat{\lambda} \geq 0$ است ولی برای NECCB یک مقدار حقیقی دلخواه است. با اینکه حل NICCB و NECCB شبیه یکدیگر است اما محدوده ضریب لاغرانژ آنها متفاوت است [۲۹]. جهت بررسی کامل این روش‌ها می‌توان به [۲۵] رجوع کرد.

۳- مقاآم سازی شکل دهی پرتو به روش پیشنهادی

شکل دهی پرتو MVDR با فرض هیچگونه عدم انطباق در خروجی آرایه، نه در بردار هدایت و نه در داده‌های دریافتی، می‌باشد. حال فرض می‌کنیم که هم بردار هدایت آرایه و هم ماتریس داده دچار عدم انطباق شده‌اند. عدم انطباق را به صورت یک خطای جمع شونده برای بردار هدایت و بردار داده دریافتی توسط آرایه نشان می‌دهیم.

$$\tilde{a} = a + \delta \quad (12)$$

که δ بردار خطای $M \times 1$ است.

$$\tilde{X} = X + \Delta \quad (13)$$

و Δ ماتریس خطای $M \times N$ است. فرض می‌کنیم که نرم این عدم انطباق‌ها تحت قیدهای شناخته شده محدود شده باشد.

$$\|\delta\| \leq \varepsilon \quad (14)$$

$$\|\Delta\|_f \leq \gamma \quad (15)$$

$$a_i = e^{\frac{j2\pi(i-1)d}{\lambda} \sin(\theta)} ; i=1,2,\dots,M \quad (3)$$

بردار وزن را می‌توان از حداکثر کردن SINR به دست آورد.

$$SINR = \frac{\sigma_s^2 |w^H a|^2}{w^H R_{i+n} w} \quad (4)$$

که $R_{i+n} = E\left\{[i(t)+n(t)][i(t)+n(t)]^H\right\}$ یک ماتریس $M \times M$ ، ماتریس کوواریانس سیگنال تداخل و نویز می‌باشد و σ_s^2 توان سیگنال است. هدف ما در بحث شکل دهی پرتو، حداکثر شدن رابطه (۴) است یعنی نسبت سیگنال به تداخل به اضافه نویز حداکثر شود و این معادل حداقل شدن مخرج با فرض $w^H a = 1$ است.

$$\min_w w^H R_{i+n} w \quad (5)$$

subject to $w^H a = 1$

در عمل چون نمی‌توان نمونه‌های نویز و تداخل را از سیگنال اصلی جدا کرد لذا با فرض ارگادیک بودن فرآیند، می‌توان از رابطه زیر استفاده کرد:

$$\hat{R} = \frac{1}{N} XX^H \quad (6)$$

که $X = [x_1, x_2, \dots, x_N]_{M \times N}$ ماتریس $M \times N$ داده‌ی آرایه و نمونه‌های سیگنال دریافتی است [۲۵].

عدم قطعیت در بردار هدایت، a ، و ماتریس کوواریانس داده‌ها، R ، موجب می‌شود نتوان با حل مسأله بهینه سازی رابطه (۵) به بردار وزن مطلوب دست یافت. لذا روش‌هایی برای مقاآم سازی این الگوریتم، بطور مجزا، نسبت به عدم قطعیت در بردار هدایت و یا عدم قطعیت در ماتریس کوواریانس داده ارائه شده است که در ادامه به اختصار در مورد آنها صحبت می‌شود.

معروف‌ترین روش مقاآم سازی نسبت به عدم قطعیت در ماتریس کوواریانس داده، روش بارگذاری قطری (Diagonal Loading) است.

در این روش ماتریس کوواریانس داده را بارگذاری قطری می‌کنند.

$$\hat{R} \rightarrow \hat{R} + \lambda I \quad (7)$$

که λ ضریب بارگذار قطری و I ماتریس یکه است. با جایگذاری رابطه (۷) در رابطه (۵) بردار وزن مطلوب به دست می‌آید.

$$w = (\hat{R} + \lambda I)^{-1} a \quad (8)$$

یک ویژگی بارگذاری قطری این است که قابلیت معکوس پذیری ماتریس بارگذاری شده قطری $\hat{R} + \lambda I$ را صرف نظر از اینکه منفرد است یا خیر، تضمین می‌کند. مشکل اساسی روش بارگذاری قطری این است که راه حل مشخصی برای تعیین ضریب بارگذاری قطری ارائه نشده است [۴] و [۲۶].

روش‌های دیگر مقاآم سازی بر اساس عدم قطعیت در بردار هدایت به طور کلی عبارتند از شکل دهنده پرتو کاپون تحت قید نرم مساوی (NECCB) و شکل دهنده پرتو کاپون تحت قید نرم نامساوی [۲۵] (NICCB). در این دو روش با اعمال قیدهای اضافی به صورت نرم

$$\begin{aligned} & \min_w \|X^H w\| + \gamma \|w\| \\ \text{subject to} \quad & w^H a \geq \varepsilon \|w\| + 1 \\ & \operatorname{Im}\{w^H a\} = 0 \end{aligned} \quad (25)$$

در مورد محاسبه γ یک نکته مهم وجود دارد و آن نامشخص بودن نوع اثر تخریبگری عدم قطعیت بر روی داده دریافتی از آرایه است. از این رو به طور مستقیم از رابطه (۱۵) نمی‌توان مقدار این اثر تخریبگری را محاسبه کرد. بنابر این برای آن یک حد پایین محاسبه می‌کنیم.

$$\|\tilde{X}\|_f = \|X + \Delta\|_f \quad (26)$$

$$\|X + \Delta\|_f \leq \|X\|_f + \|\Delta\|_f \quad (27)$$

با استفاده از رابطه (۱۵) داریم:

$$\gamma \geq \|X + \Delta\|_f - \|X\|_f \quad (28)$$

و بدین ترتیب در محاسبات می‌توان از این حد پایین استفاده کرد. برای محاسبه γ تحقیقات فراوانی ارائه شده است که در همه آن‌ها در نهایت برای γ یک ناحیه بیضیگون متصور شده‌اند [۲۵، ۳۴-۳۲]. در اینجا ما از آخرین روشی که بهترین محدوده برای γ را جهت مقاوم سازی ارائه داده است استفاده می‌کنیم [۳۵].

در این روش فرض می‌شود که حداکثر محدوده مجاز برای بردار هدایت با عدم انطباق یک بیضی‌گون باشد.

$$\tilde{a} \in \{a + \delta \mid \|\delta\| \leq \varepsilon\} \quad (29)$$

سپس برای مقاوم سازی تغییرات زاویه ورود را منحصر به محدوده بین دو سر قطب بزرگ ناحیه بیضی‌گون می‌کند.

$$\tilde{a} \in \{\tilde{a}(\theta) \mid \theta_1 \leq \theta \leq \theta_2\} \quad (30)$$

در این حالت برای به دست آوردن γ , با یک سری ساده سازی‌ها که به کلیت موضوع آسیبی وارد نمی‌کند، دو مقدار برای حد بالا و پایین \tilde{a} به دست می‌آید.

$$\delta(\theta_1) = \tilde{a}(\theta_1) - a(\theta_1) \quad (31)$$

$$\delta(\theta_2) = \tilde{a}(\theta_2) - a(\theta_2) \quad (32)$$

که با توجه به رابطه (۱۴) خواهیم داشت:

$$\varepsilon = \max\{\|\delta(\theta_1)\|, \|\delta(\theta_2)\|\} \quad (33)$$

باید توجه داشت که در خارج از این محدوده، مسئله بهینه سازی واگرا شده و جوابی برای بردار وزن بهینه به دست نمی‌آید.

واضح است که رابطه (۲۵) از نظر فرمول نویسی بسیار ساده‌تر از (۱۶) بوده و همچنین محدب است. این مسئله بهینه سازی محدب به روش از مجموعه روش‌های Interior-point Barrier که برای حل مسائل محدب به کار می‌رود قابل حل می‌باشد. این روش یک روش تقریبی با دقت بسیار بالاست که توسط نرم افزار CVX تحت نرم MATLAB قابل اجراست [۳۱].

نرم فربنیوس (برای ماتریس) است. باید توجه کرد که δ و Δ به ترتیب بدليل خطای بردار هدایت و غیر ایستا بودن داده‌ها رخ می‌دهند.

برای دستیابی به یک الگوریتم مقاوم شده نسبت به هر دو خطای بردار هدایت سیگنال و غیر ایستا بودن داده، وزن‌های شکل‌دهنده پرتو را با حل معادله بهینه‌سازی ذیل به دست می‌آوریم:

$$\min_w \max_{\|\Delta\|_f \leq \gamma} \|X^H w\| \quad (16)$$

$$\text{Subject to} \quad |w^H \tilde{a}| \geq 1 \quad \forall \|\delta\| \leq \varepsilon$$

باید توجه داشت که وزن‌های شکل‌دهنده پرتو در (۱۶) با میانگین گیری از حداقل توان خروجی، در بدترین حالت عدم تطابق Δ با اندازه محدود، و به شرط ارضاء قید پاسخ اوجاج یافته بردار هدایت در بدترین حالت خطای δ با اندازه محدود به دست می‌آید.

معادله (۱۶) را می‌توان به صورت زیر نوشت:

$$\min_w \max_{\|\Delta\|_f \leq \gamma} \|X^H w + \Delta^H w\|$$

$$\text{Subject to} \quad \min_{\|\delta\| \leq \varepsilon} |w^H (a + \delta)| \geq 1 \quad (17)$$

برای تابع هزینه و قید، نتایجی به دست می‌آیند که قابل اثبات هستند.

فرض زیر را برای قید مسئله بهینه سازی در نظر می‌گیریم [۳۰]:

$$|w^H a| \geq \varepsilon \|w\| \quad (18)$$

پس

$$\min_{\|\delta\| \leq \varepsilon} |w^H (a + \delta)| = |w^H a| - \varepsilon \|w\| \quad (19)$$

می‌توان برای تابع هزینه هم فرض زیر را اعمال کرد.

$$f(w) = \max_{\|\Delta\|_f \leq \gamma} \|X^H w + \Delta^H w\| \quad (20)$$

و از این فرض به نتیجه قابل اثبات زیر رسید.

$$f(w) = \|X^H w\| + \gamma \|w\| \quad (21)$$

با استفاده از روابط (۱۹) و (۲۱) مسئله بهینه سازی (۱۷) را بازنویسی می‌کنیم.

$$\min_w \|X^H w\| + \gamma \|w\| \quad (22)$$

$$\text{subject to} \quad |w^H a| \geq \varepsilon \|w\| + 1$$

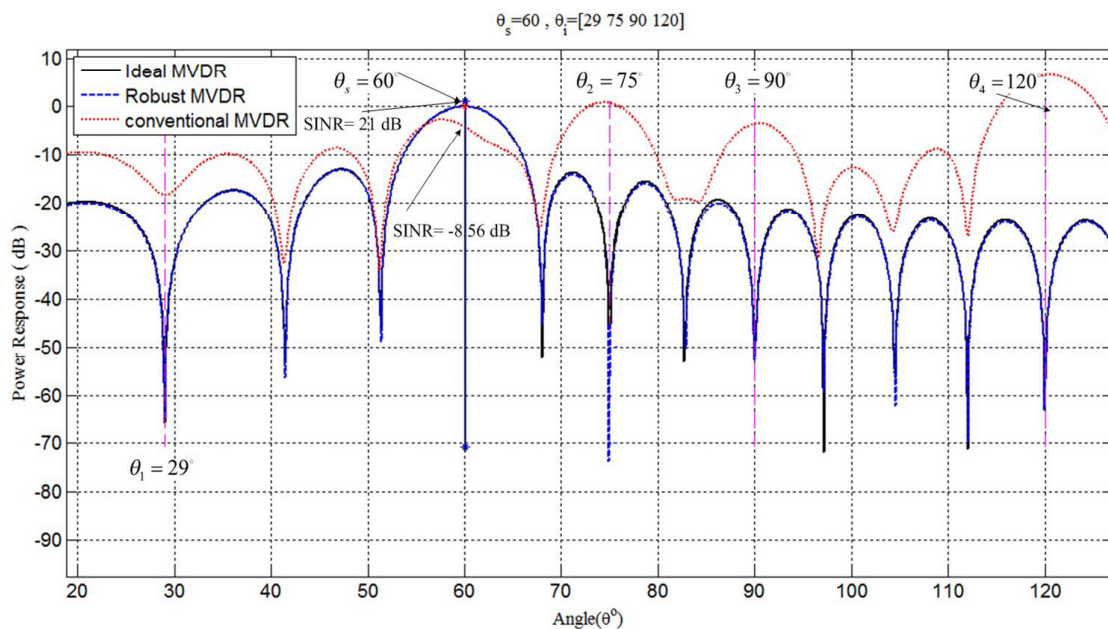
به دلیل وجود عملگر قدر مطلق در قید رابطه (۲۲) این قید هنوز محدب نیست. برای محدب کردن آن دقت می‌کنیم که اگر w تحت یک زاویه دلخواه دوران یابد، تابع هزینه بدون تغییر باقی خواهد ماند. بنابراین بدون از دست دادن کلیت موضوع ما می‌توانیم w را به صورت زیر انتخاب کنیم.

$$\operatorname{Re}\{w^H a\} > 0 \quad (23)$$

$$\operatorname{Im}\{w^H a\} = 0 \quad (24)$$

با اعمال روابط (۲۳) و (۲۴) به عنوان قیدهای اضافی در رابطه (۱۷)،

می‌توان آن را به صورت یک مسئله محدب باز نویسی کرد.



شکل (۱): مقایسه بین پترن های شکل دهی پرتو MVDR

Fig. (1): MVDR beamformer pattern comparison

ماتریس کوواریانس را مورد بررسی قرار دهیم. این بررسی شامل مقایسه عملکرد شکل دهی پرتو با دیگر الگوریتم های شکل دهی پرتو MVDR مقاوم سازی شده، از لحاظ تشخیص زاویه ورود سیگنال مطلوب و صفرگذاری در زوایای ورود سیگنال های تداخل و داشتن حداقل SINR در زاویه ورود سیگنال مطلوب می باشد. شبیه سازی های ارائه شده مبتنی بر داده های به دست آمده از شبیه ساز الکترو مغناطیسی می باشد که برنامه آن در نرم افزار MATLAB نوشته شده است.

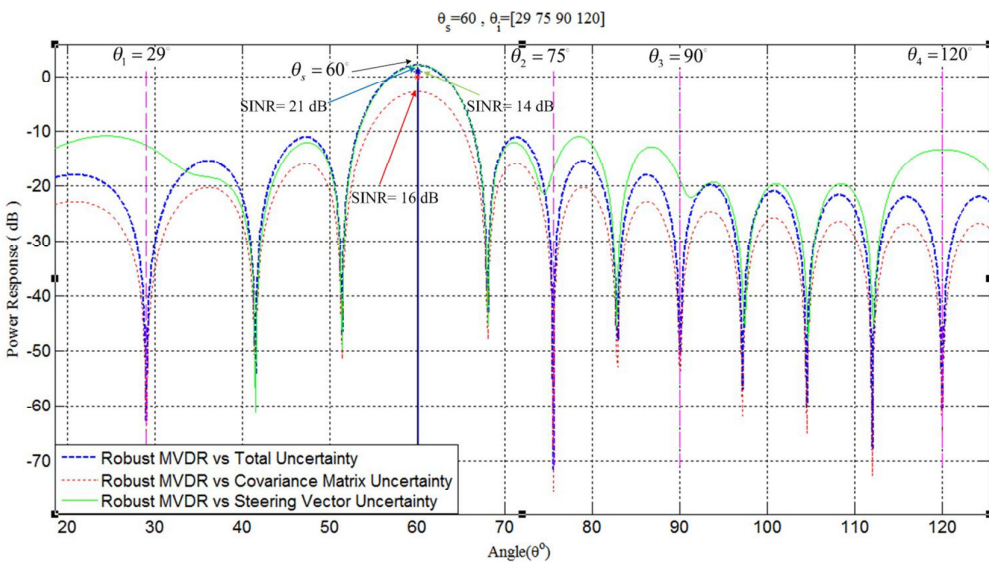
۴- شبیه سازی

برای شبیه سازی، یک آرایه آنتن خطی مت Shankel از ۱۶ آنتن دوقطبی با فرکانس کاری $f = 2.4\text{GHz}$ با فاصله بین المانی $d = \frac{\lambda}{2} = 6.25\text{cm}$ به طوری که $\lambda = 12.5\text{cm}$ در نظر می گیریم. زاویه های ورود برای سیگنال مطلوب $\theta_s = 60^\circ$ و برای سیگنال های تداخل $\theta_1 = 27^\circ$, $\theta_2 = 75^\circ$, $\theta_3 = 90^\circ$ و $\theta_4 = 120^\circ$ می باشند. هدف ما در این شبیه سازی این است که عملکرد الگوریتم شکل دهی پرتو MVDR مقاوم سازی شده نسبت به عدم قطعیت بردار هدایت و

Table (1): SINR and depth of the nulls comparison in the MVDR beamforming algorithms

جدول (۱): مقایسه SINR و عمق صفرگذاری الگوریتم شکل دهی پرتو MVDR

صفر گذاری (dB)				SINR (dB)	
29°	75°	90°	120°		
-63.32	-45.24	-52.65	-62.1	24	ایده آل MVDR
-18.3	+0.7	-3.46	+6.44	-8.56	بدون مقاوم سازی MVDR
-63.27	-42.58	-52.11	-61.47	21	مقاوم سازی MVDR شده نسبت به عدم قطعیت بردار هدایت و ماتریس کوواریانس داده



شکل (۲): مقایسه بین شکل دهی پرتو MVDR مقاوم شده
Fig (2): Robust MVDR beamformer pattern comparison

داده شد. در ادامه این روند را برای الگوریتم‌های مقاوم سازی شده فقط در برابر عدم قطعیت در بردار هدایت و همچنین برای الگوریتم‌های مقاوم سازی شده فقط در برابر عدم قطعیت در ماتریس کوواریانس داده، R ، نشان می‌دهیم.
ابتدا فقط عدم قطعیت را در بردار هدایت در نظر می‌گیریم. در این حالت قید مساله بهینه سازی تغییر کرده و اثر عدم قطعیت در قید مساله مورد بررسی قرار می‌گیرد.

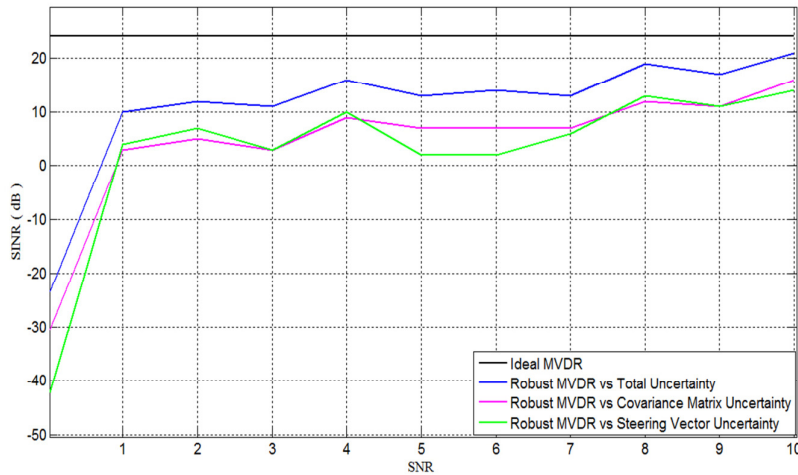
$$\begin{aligned} \min_w w^H R w \\ \text{subject to} \quad |w^H a| \geq \varepsilon \|w\| + 1 \end{aligned} \quad (34)$$

همانطور که در شکل (۱) دیده می‌شود زاویه ورود سیگنال مطلوب به شکل ایده آلی، توسط الگوریتم شکل دهی پرتو مقاوم سازی شده به روش پیشنهادی، تشخیص داده شده است. عمل صفرگذاری در زوایای ورود سیگنال‌های تداخل به خوبی صورت گرفته و نیز SINR این الگوریتم شکل دهی پرتو مقاوم سازی شده برابر 21 dB می‌باشد که تفاوت بارز آن با SINR در حالت بدون مقاوم سازی که -8.56 dB است بیانگر عملکرد مطلوب مقاوم سازی الگوریتم می‌باشد. نتایج شبیه سازی در جدول (۱) آورده شده است.

تا اینجا عملکرد الگوریتم شکل دهی پرتو MVDR مقاوم سازی شده در برابر عدم قطعیت بردار هدایت و ماتریس کوواریانس، نسبت به الگوریتم شکل دهی پرتو MVDR مقاوم سازی نشده بررسی و نشان

جدول (۲): مقایسه SINR و عمق صفرگذاری الگوریتم شکل دهی پرتو MVDR مقاوم سازی شده
Table (2) depth of the nulls and SINR comparison in the robust MVDR beamformer

صفر گذاری (dB)				SINR (dB)	
29°	75°	90°	120°		
-63.27	-42.58	-52.11	-61.47	21	MVDR مقاوم سازی شده نسبت به عدم قطعیت بردار هدایت و ماتریس کوواریانس داده
-65.47	-40.12	-51.37	-60.26	16	MVDR مقاوم سازی شده نسبت به عدم قطعیت در ماتریس کوواریانس داده
-12.56	-19.51	-19.29	-13.3	14	MVDR مقاوم سازی شده نسبت به عدم قطعیت در بردار هدایت



شکل (۳): SINR خروجی نسبت به تغییرات SNR (Snapshot=100)

Fig. (3): Output SINR versus SNR (Snapshot=100)

یکی دیگر از معیارهای مقایسه عملکرد الگوریتم‌های شکل دهی پرتو مقاوم سازی شده، نمودار تغییرات SINR به ازای تغییرات SNR می‌باشد.

در شکل (۳) نمودار تغییرات SINR در ازای تغییرات SNR در حالت تعداد ثابت نمونه‌های سیگنال $N=100$ ، برای هر سه الگوریتم مقاوم سازی شده نسبت به عدم قطعیت بردار هدایت و نسبت به عدم قطعیت ماتریس کوواریانس داده‌ها و نیز عدم قطعیت بردار هدایت و ماتریس کوواریانس دیده می‌شود.

نمودار آبی رنگ مربوط به الگوریتم شکل دهی پرتو MVDR مقاوم سازی شده نسبت به عدم قطعیت بردار هدایت و ماتریس کوواریانس است و در $\text{SNR}=10 \text{ dB}$ مقدار SINR آن، نزدیکترین مقدار به حالت ایده‌آل و برابر $\text{SNR}=21 \text{ dB}$ است.

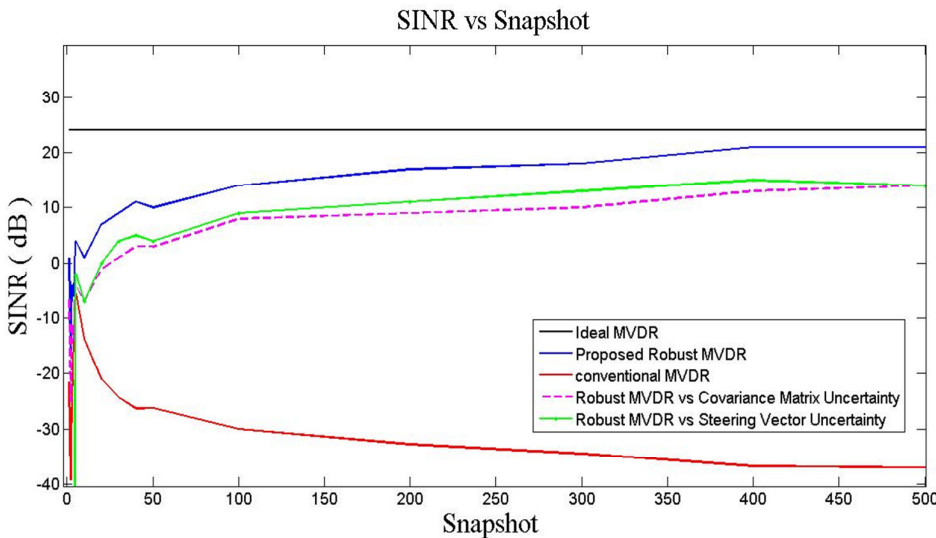
تغییرات SINR الگوریتم‌های مقاوم سازی در حالت $\text{SNR}=10 \text{ dB}$ و به ازای تغییر تعداد نمونه‌های سیگنال دریافتی در شکل (۴) نشان داده شده است.

بر اساس شکل‌های (۳) و (۴) می‌توان مشاهده کرد که الگوریتم پیشنهادی با در نظر گرفتن عدم قطعیت به صورت کلی هم در تابع هزینه و هم در قید مسئله بهینه سازی جهت به دست آوردن بردار وزن بهینه، نسبت به دیگر الگوریتم‌ها که عدم قطعیت را به صورت جزئی بررسی می‌کنند عملکرد بهتری از نظر شکل دهی پرتو و همچنین حداکثر کردن SINR دارد.

در این روش عملکرد الگوریتم شکل دهی پرتو نسبت به حال مقاوم سازی نشده خیلی بهتر می‌شود و زاویه‌های ورود سیگنال مطلوب و تداخل بهتر از حالت مقاوم سازی نشده تخمین زده می‌شوند اما بازهم بعضی از زوایای ورود سیگنال‌های تداخل به عنوان زاویه ورود سیگنال مطلوب تشخیص داده می‌شوند. به عبارت دیگر عمل صفرگذاری فقط برای برخی از منابع سیگنال تداخل صورت می‌گیرد. در مورد SINR می‌توان گفت که تغییرات مشهود بوده و مقدار آن برابر ۱۴ dB است.

حال عدم قطعیت را تنها برای ماتریس کوواریانس داده‌ها در نظر می‌گیریم و نتایج مقاوم سازی را نسبت به آن مورد بررسی قرار می‌دهیم. این حالت به صورت کلی اشاره به روش‌هایی دارد که در آنها به منظور مقاوم سازی، تنها تابع هزینه تغییر می‌کند. روش بارگذاری قطری نیز بخشی از همین نوع الگوریتم‌های مقاوم سازی می‌باشد. در این حالت عملکرد مقاوم سازی بسیار خوب بوده و علاوه بر تخمین زاویه ورود سیگنال مطلوب با دقت مناسب، عمل صفرگذاری در زوایای ورود سیگنال‌های تداخل نیز به نحو بهینه صورت گرفته است و مقدار

SINR در زاویه ورود سیگنال مطلوب برابر 16 dB می‌باشد. اما هنوز تفاوت مشهودی بین مقدار SINR در حالت ایده‌آل و حالت مقاوم سازی فقط نسبت به عدم قطعیت در ماتریس کوواریانس وجود دارد. نتایج حاصل از مقاوم سازی به روش پیشنهادی و نیز روش‌های مقاوم سازی قبلی، در جدول (۲) دیده می‌شود.



شکل (۴): SINR خروجی در مقابل تغییرات تعداد نمونه سیگنال دریافتی (SNR=10dB)

Fig. (4): Output SINR versus snapshot number (SNR=10dB)

بارگذاری قطری که در آن راه حل مشخصی برای به دست آوردن ضریب بارگذاری تعریف نمی‌شود، در این روش پیشنهادی این ضریب به سادگی بر اساس حد شناخته شده ماتریس داده، قابل محاسبه است. با حل کامپیوتری این مساله بهینه سازی محدب توسط نرم افزار CVX، بردار وزن بهینه الگوریتم مقاوم سازی به دست می‌آید که شبیه سازی کامپیوتری عملکرد بهتر این روش نسبت به دیگر روش‌های مقاوم سازی را نشان می‌دهد. نکته حائز اهمیت در این روش، محاسبات ساده و سریع در حل مسأله بهینه سازی توسط نرم افزار CVX است که به روش Interior-point آن را حل می‌کند.

۵- نتیجه گیری

در این مقاله یک الگوریتم شکلدهی پرتو مقاوم سازی شده بهبود یافته پیشنهاد شده است که نسبت به عدم قطعیت در بردار هدایت آرایه و ماتریس کوواریانس داده دارای بهترین عملکرد می‌باشد. روش پیشنهادی شامل یک مسأله بهینه سازی غیرمحدب می‌باشد که بدترین تأثیرات عدم قطعیت در آن لحاظ شده است. با تبدیل این مسأله به یک مسأله بهینه سازی محدب باتابع هزینه‌ای شبیه روش بارگذاری قطری و قیدی شبیه روش‌های مقاوم سازی با قید مرتبه دوم نرم نامساوی الگوریتم مقاوم سازی شده حاصل می‌شود. برخلاف روش

References

- [1] S. Reed, J.D. Mallett, L.E. Brennan, "Rapid convergence rate in adaptive arrays", IEEE Trans. Aerosp. Electron. Syst., Vol. AES-10, pp. 853–863, Nov. 1974.
- [2] L.J. Griffiths, C.W. Jim, "An alternative approach to linearly constrained adaptive beamforming", IEEE Trans. Antennas Propagat., Vol. A P-30, pp. 27–34, Jan. 1982.
- [3] E.K. Hung, R.M. Turner, "A fast beamforming algorithm for large arrays", IEEE Trans. Aerosp. Electron. Syst., Vol. AES-19, pp. 598–607, July 1983.
- [4] B.D. Carlson, "Covariance matrix estimation errors and diagonal loading in adaptive arrays", IEEE Trans. Aerosp. Electron. Sys., Vol. 24, pp. 397–401, July 1988.
- [5] R.A. Monzingo, T.W. Miller, "Introduction to Adaptive Arrays", New York: Wiley, 1980.
- [6] D.D. Feldman, L.J. Griffiths, "A projection approach to robust adaptive beamforming", IEEE Trans. Signal Processing, Vol. 42, pp. 867–876, Apr. 1994.
- [7] S.D. Hayward, "Effects of motion on adaptive arrays", IEE Pmc. Ruhr Sonar and Navigarion, Vol. 144, pp. 15-20, Feb.1997.
- [8] A.B. Gershman, G.V. Serebryakov, J.F. Bohme, "Constrained hung-tumer adaptive beamforming algorithm with additional robustness to wideband and moving jammers", IEEE Trans. Antennas and Propagation, Vol. 44, pp. 361-367, March 1996.
- [9] A.B. Gershman, U. Nickel, J.F. Bohme, "Adaptive beamforming algorithms with robustness against jammer motion", IEEE Trans. Signl Processing, Vol. 45, pp. 1878-1885, July. 1997.
- [10] R.I. Goldberg, G. Vazquez, "Robust beamforming for interference rejection in mobile communications", IEEE Trans. Signal Processing, Vol. 45, pp. 271-275, Jan. 1997.

- [11] J.R. Guerci, "Theory and application of covariance matrix tapers for robust adaptive beamforming", IEEE Trans. Signal Processing, Vol. 47, pp. 997-985, Apr. 1999.
- [12] N.K. Jablon, "Adaptive beamforming with the generalized sidelobe canceller in the presence of array imperfections", IEEE Trans. Antennas Propagat., Vol. AP-34, pp. 996-1012, Aug. 1986.
- [13] A.B. Gershman, "Robust adaptive beamforming in sensor arrays", Int. J. Electron. Commun., Vol. 53, pp. 305-314, Dec. 1999.
- [14] H. Cox, R.M. Zeskind, M.H. Owen, "Robust adaptive beamforming", IEEE Trans. Acoust., Speech, Signal Processing, Vol. ASSP-35, pp. 1365-1376, Oct. 1987.
- [15] M.H. Er, T. Cantoni, "An alternative formulation for an optimum beamformer with robustness capability", Proc. Inst. Elect. Eng. Radar, Sonar, Navig., pp. 447-460, Oct. 1985.
- [16] D.D. Feldman, L.J. Griffiths, "A projection approach to robust adaptive beamforming", IEEE Trans. Signal Processing, Vol. 42, pp. 867-876, Apr. 1994.
- [17] L. Chang, C.C. Yeh, "Performance of DMI and eigenspace-based beamformers", IEEE Trans. Antennas Propagat., Vol. 40, pp. 1336-1347, Nov. 1992.
- [18] K.I. Pedersen, P.E. Mogensen, B.H. Fleury, "A stochastic model of the temporal and azimuthal dispersion seen at the base station in outdoor propagation environments", IEEE Trans. Veh. Technol., Vol. 49, pp. 437-447, Mar. 2000.
- [19] J. Goldberg, H. Messer, "Inherent limitations in the localization of a coherently scattered source", IEEE Trans. Signal Processing, Vol. 46, pp. 3441-3444, Dec. 1998.
- [20] O. Besson, P. Stoica, "Decoupled estimation of DOA and angular spread for a spatially distributed source", IEEE Trans. Signal Processing, Vol. 48, pp. 1872-1882, July 2000.
- [21] D. Astely, B. Ottersten, "The effects of local scattering on direction of arrival estimation with MUSIC", IEEE Trans. Signal Processing, Vol. 47, pp. 3220-3234, Dec. 1999.
- [22] Y. Nesterov, A. Nemirovsky, "Interior point polynomial algorithms in convex programming", Philadelphia, PA: SIAM, 1994.
- [23] M. Lobo et al., "Applications of second-order cone programming", Linear Algebra Applicat., pp. 193-228, Nov. 1998.
- [24] J.F. Sturm, "Using SeDuMi 1.02, a MATLAB toolbox for optimization over symmetric cones", Optim. Meth. Softw., Vol. 11-12, pp. 625-653, Aug. 1999.
- [25] J. Li, P. Stoica, "Robust adaptive beamforming", John Wiley, Inc. Hoboken, New Jersey, 2006.
- [26] A. Elnashar, S.M. Elnoubi, H.A. El-Mikati. "Further study on robust adaptive beamforming with optimum diagonal loading", IEEE Trans. Antennas Propagation, Vol. AP-54, No.12, pp. 3647-3658, Dec.2006.
- [27] F. Vincent, O. Besson. "Steering vector errors and diagonal loading", IEE Proceedings.- Radar Sonar Navig., Vol. 151, No.6, pp. 337-343, Dec. 2004.
- [28] J. Li, P. Stoica, Z. Wang, "On robust Capon beamforming and diagonal loading", IEEE Trans. on Sig. Proc., Vol. 51, pp. 1702-1715, 2003.
- [29] L. Congfeng. "Robust Beamforming and DOA Estimation, Fourier Transform Applications", Dr Salih Salih (Ed.), ISBN: 978-953-51-0518-3, InTech, 2012.
- [30] R.A. Monzingo, T.W. Miller. "Introduction to adaptive arrays", New York: Wiley, 1980.
- [31] S.P. Boyd, L. Vandenberghe. "Convex Optimization", Cambridge University Press, 2011.
- [32] S.A. Vorobyov, A.B. Gershman, Z-Q. Luo. "Robust adaptive Beamforming using worst-case performance optimization: a solution to the signal mismatch problem", IEEE Trans. Signal Processing. Vol.51, No.2, pp. 313-324, Feb. 2003.
- [33] Z.L. Yu, M.H. Er, "A robust capon beamformer against uncertainty of nominal steering vector", Hindawi Publishing Corporation, EURASIP J. on App. Sig. Proc., Article ID 62327, pp. 1-8, 2006.
- [34] R.G. Lorenz, S.P. Boyd. "Robust minimum variance beamforming", Sig. Proc. IEEE Trans. on, Vol. 53, No.5, pp.1684,1696, May 2005.
- [35] C.Y.Chen, P.P.Vaidyanathan, "Quadratically constrained beamforming robust against direction-of- arrival mismatch", IEEE Trans. Sig. Proc., Vol.55, No.8, pp: 4139-4150, Aug.2007.

